

## تخمین دبی لبالی بر اساس ویژگی‌های کanal رود در حوضه گرمابدشت، استان گلستان

رضا اسماعیلی\* - دکتری ژئومورفولوژی، استادیار گروه جغرافیای دانشگاه مازندران، بابلسر  
قاسم لrstانی - دکتری ژئومورفولوژی، استادیار گروه جغرافیای دانشگاه مازندران، بابلسر  
فاطمه رحیمی‌نژاد - کارشناس ارشد ژئومورفولوژی دانشگاه مازندران، بابلسر

پذیرش مقاله: ۱۳۹۴/۱/۱۵ تأیید نهایی: ۱۳۹۴/۱۲/۲۶

### چکیده

دبی لبالی جریانی است که کanal رود را پُر می‌کند بدون اینکه از کرانه کanal سربریز شود. در این تحقیق، دبی لبالی بر اساس ویژگی‌های کanal رود در حوضه گرمابدشت استان گلستان تخمین زده شد. برای اجرای این پژوهش، حوضه گرمابدشت به چندین زیرحوضه تقسیم و بازه‌هایی برای مطالعه انتخاب شد. با عملیات میدانی، در هر بازه محدوده کanal لبالی شناسایی شد و ویژگی‌های مورفومتری کanal رود- شامل عرض و عمق لبالی، مساحت مقطع عرضی در تراز لبالی، و شبک کanal- و همچنین قطر رسوبات بستر اندازه‌گیری شد. روابط رگرسیونی میان متغیرهای کanal رود و مساحت حوضه آبریز نشان می‌دهد متغیرهای عرض، عمق، و مساحت مقطع عرضی در حالت لبالی همبستگی خوبی با مساحت حوضه دارند و به صورت معادلات توانی پیش‌بینی شدنی اند. تنفس برآشی رود و قدرت رود هم با مساحت حوضه رابطه معناداری را نشان می‌دهد و پیش‌بینی شدنی است. با استفاده از توزیع آماری لوگ پیرسون تیپ ۳، دوره بازگشت دبی لبالی در این رودخانه دو سال محاسبه شد. با توجه به معادلات رگرسیونی محاسبه شده، مقدار دبی لبالی برای سایر رودخانه‌های فاقد ایستگاه هیدرومتری در حوضه پیش‌بینی شدنی است.

کلیدواژه‌ها: استان گلستان، حوضه گرمابدشت، دبی لبالی، مورفومتری کanal رود.

### مقدمه

دبی لبالی حداقل آبی است که کanal رود را پُر می‌کند بدون اینکه از کرانه‌ها خارج شود. دبی لبالی معمولاً جریانی است که هر یک تا دو و نیم سال رخ می‌دهد (اسماعیلی و همکاران، ۱۳۹۰: ۵۰) و اغلب فرض می‌شود که شکل کanal آبرفتی را کنترل می‌کند. این دبی بیشترین بار رسوی را در طی زمان حمل می‌کند (امت و ولمن، ۲۰۰۱: ۱۳۶۹).

دبی لبالی شاخص مهمی در مطالعه مورفولوژی رود، مدیریت سیلاب، و اثرهای اکولوژیکی در رودخانه است. بنابراین، مطالعه دبی لبالی مورد توجه ژئومورفولوژیست‌ها، مهندسان هیدرولیک، اکولوژیست‌ها، و سازمان‌های مدیریت مخاطرات سیلاب قرار دارد (زیا و همکاران، ۱۰: ۶۶). در ژئومورفولوژی رودخانه‌ای دبی لبالی (به منزله مؤثرترین جریان برای جابه‌جایی رسوبات)، تشکیل یا جابه‌جایی موائع درون کanalی، تشکیل و تغییر خمیدگی‌های پیچان رود، و

ویژگی‌های مورفولوژیکی کanal رود مورد توجه است (مولویهیل و همکاران، ۲۰۱۰: ۲). دبی لبالی همچون یک شاخص مورفولوژیکی می‌تواند در مهندسی رود به کار رود.

دبی لبالی فقط ارتفاع جریان رود است و معمولاً می‌توان آن را بر روی زمین شناسایی کرد. به سبب تعاریف متعدد تراز لبالی در ادبیات علمی و پیچیدگی‌های روی زمین، شناسایی درست تراز لبالی در روی زمین مشکل است. ویلیامز (۱۹۷۸) برای شناسایی کanal لبالی یازده تعریف مختلف را بر اساس موارد زیر طبقه‌بندی کرد (اشنايدر و همکاران، ۲۰۱۱: ۲۳۶):

- اشکال ژئومورفیک مانند بالای کرانه رود یا شکستگی در شیب کرانه؛
  - اشکال ژئومتریک مانند ترازی از جریان که نسبت عرض به عمق مقطع عرضی به حداقل برسد؛
  - اشکال مرزی (مرز کanal و کرانه) مانند تغییر در ترکیب گیاهان یا رسوبات.
- پیچیدگی‌های روی زمین- از جمله ۱. تغییر در ارتفاع رأس کرانه؛ ۲. عدم وضوح شکستگی شیب بین کanal و دشت سیلانی؛ ۳. وجود اشکالی مانند سکوهای آبرفتی و پادگانه‌ها- شناسایی ارتفاع لبالی را در مناطق کوهستانی با مشکل رو به رو می‌سازد.

دو روش رایج برای تعیین دبی لبالی در سایت‌های بدون ایستگاه هیدرومتری وجود دارد:

۱. مدل‌های بارش- رواناب که از داده‌های بارش و ویژگی‌های حوضه آبریز برای تخمین جریان‌ها استفاده می‌کنند و اغلب زمان بر و پرهزینه‌اند.
۲. روش‌های رگرسیونی که معمولاً ارتباط دبی اوج با یک دوره بازگشت دوساله را با ویژگی‌های مختلف حوضه مانند مساحت زهکشی، عوارض توپوگرافی، خاک‌ها، و ویژگی‌های اقلیمی برقرار می‌سازند (جانسن و پادمانابهان، ۲۰۱۰: ۱۱۸). البته، معادله‌های رگرسیونی برای ژئومتری کanal لبالی با جریان‌ها هم پیشنهاد شده‌اند که روابط بین دبی لبالی و متغیرهای مستقلی که ابعاد کanal را کنترل می‌کنند تشریح می‌نمایند.

تاکنون محققان کارهای متعددی در سطح جهان انجام داده‌اند؛ در اینجا، با توجه به موضوع پژوهش حاضر، به برخی از موارد در زمینه روابط میان دبی لبالی و متغیرهای مستقل کنترل کننده ابعاد کanal اشاره می‌شود.

- پتیت و پاکوات (۱۹۹۷) دوره بازگشت دبی لبالی و ژئومتری کanal را در رودخانه‌هایی با بستر گراولی ارزیابی کردند. جانسن (۲۰۰۳) از روش‌های رگرسیون خطی برای تعیین روابط میان مساحت زهکشی و پارامترهای ژئومتری کanal استفاده کرد تا بر اساس آن‌ها بتوان دبی لبالی را در رودخانه‌هایی فاقد ایستگاه اندازه‌گیری تخمین زد. ویانلو و داآگوستینو (۲۰۰۷) عرض کanal لبالی را در اشکال مورفولوژیکی بستر رود در شمال ایتالیا بررسی کردند. بهات و تایواری (۲۰۰۸) چندین معادله رگرسیونی را برای روابط بین دبی جریان لبالی با عرض و عمق کanal و مساحت مقطع عرضی ایجاد کردند. فاوستینی و همکاران (۲۰۰۹) ژئومتری کanal لبالی و تغییرات عرض کanal رود را در نتیجه آشفتگی‌های ناشی از فعالیت‌های انسانی در امریکا مطالعه کردند. جانسن و پادمانابهان (۲۰۱۰)، بر اساس روابط رگرسیونی میان

ویژگی‌های حوضه آبریز و ژئومتری کanal، دبی لبالی را در مناطق فاقد ایستگاه هیدرومتری پیش‌بینی کردند. تایفور و سینگ (۲۰۱۱) دبی لبالی را بر اساس مساحت مقطع عرضی کanal و با استفاده از روش‌های رگرسیون غیرخطی، منطق فازی، شبکه‌های عصبی مصنوعی، و الگوریتم ژنتیک پیش‌بینی کردند. پیتاج و نانسون (۲۰۱۱) ژئومتری کanal لبالی را در پوشش گیاهی درون کanalی و نقش آن‌ها را در تغییرات دبی و قدرت رود در جنوب استرالیا مطالعه کردند. مولویهیل و بالدیگو (۲۰۱۲) روابط ژئومتری کanal با دبی لبالی را به صورت منطقه‌ای در ایالت نیویورک محاسبه کردند. مدربیک و جورجا کاکاس (۲۰۱۴) چند رابطه منطقه‌ای را در عرض کanal لبالی، عمق هیدرولیک، و مساحت مقطع عرضی کanal در کالیفرنیای جنوبی توسعه دادند. شیباتا و ایتو (۲۰۱۴) روابطی را در عرض کanal لبالی و پارامترهای دبی با استفاده از داده‌های هیدرولوژیکی و ژئومورفولوژیکی در جزایر ژاپن ارائه دادند.

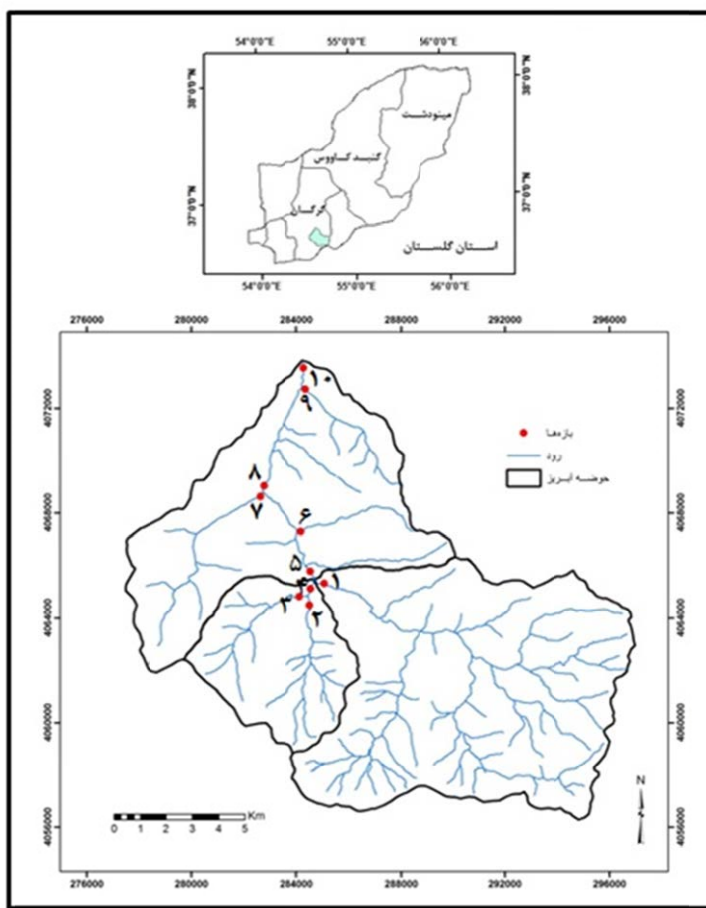
متولی و همکاران (۱۳۹۲) ارتباط دبی لبالی را با واحدهای ژئومورفیک کanal در حوضه لاویج رود استان مازندران بررسی کردند.

روابط ژئومتری هیدرولیک در مناطق مختلف با تغییر هیدرولوژی، خاک‌ها، و کاربری اراضی متغیر است (جانسن و پادمانابهان، ۲۰۱۰: ۱۱۷). از این رو، اهداف تحقیق حاضر عبارت است از: ۱. بررسی روابط بین ویژگی‌های مورفولوژیکی کanal رود و دبی لبالی در حوضه گرمابدشت استان گلستان؛ ۲. تعیین مقدار دبی لبالی و فواصل دوره بازگشت آن‌ها.

### منطقه مورد مطالعه

حوضه آبریز گرمابدشت جزئی از حوضه آبریز قره‌سو است؛ این حوضه با مساحت ۱۹۱ کیلومتر مربع در استان گلستان و جنوب شرقی شهر گرگان واقع شده است (شکل ۱). این حوضه بین طول‌های جغرافیایی "۱۱°۵۴'۰۰" تا "۱۲°۵۴'۰۰" و عرض‌های جغرافیایی "۳۶°۳۷'۰۰" تا "۳۷°۴۳'۰۰" شمالی قرار دارد. محدوده مورد مطالعه کوهستانی است و حداقل و حداکثر ارتفاع حوضه به ترتیب ۴۰۰ و ۳۴۰۰ متر و میانگین آن ۱۸۶۷ متر است.

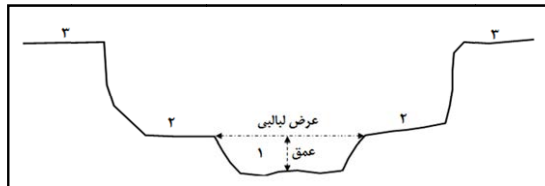
میانگین دمای سالانه حوضه، با روش منحنی هم‌دما، ۹/۵ درجه سلسیوس محاسبه شد. میانگین بارش سالانه حوضه در بخش خروجی حوضه (ایستگاه پل اردوگاه) ۷۰۲ میلی‌متر و در ارتفاعات جنوب شرقی حوضه با روش منحنی هم‌بارش ۴۰۰ میلی‌متر محاسبه شد. میانگین دبی سالانه در ایستگاه پل اردوگاه (در خروجی حوضه) در یک دوره سی‌ساله (۱۳۵۴ – ۱۳۸۴) ۰/۵۸ متر مکعب در ثانیه محاسبه شد. حداقل و حداکثر آب‌دهی رودهای حوضه به ترتیب در فصل‌های بهار و زمستان است.



شکل ۱. موقعیت حوضه آبریز گرمابدشت و بازدهای مورد مطالعه در کشور ایران و استان گلستان  
(ایستگاه هیدرومتری حوضه در بازه ده ساله قرار گرفته است)

## مواد و روش‌ها

برای مطالعه ژئومتری کanal لبالی نخست محدوده حوضه گرمابدشت از نقشه توپوگرافی ۱:۲۵۰۰۰ سازمان نقشه‌برداری مشخص و به زیرحوضه‌هایی تقسیم شد. با توجه به مساحت حوضه آبریز، ده بازه رودخانه‌ای برای شناسایی کanal لبالی بررسی شد (شکل ۱). در هر بازه با استفاده از شاخص‌های مورفولوژیکی کanal لبالی، شامل شکستگی شیب کرانه و سطوح فرسایشی در کرانه، سطح کanal لبالی شناسایی شد. متغیرهای متعددی برای تشریح ژئومتری کanal رود به کار می‌روند؛ در اینجا از عرض، عمق، و مساحت مقطع عرضی به منزله شاخص‌های تشریح‌کننده کanal رود در تراز لبالی استفاده شد (شکل ۲). برای تعیین عرض و عمق کanal لبالی حداقل سه اندازه‌گیری در هر بازه انجام شد و میانگین آن‌ها به عنوان معیار در نظر گرفته شد. برای محاسبه مقدار دبی لبالی یک مقطع عرضی نمونه از هر بازه نقشه‌برداری شد.



شکل ۲. ژئومتری کانال لبالبی (عرض و عمق کانال لبالبی) اعداد روی شکل نشان‌دهنده کانال لبالبی، دشت سیلابی، و پادگانه آبرفتی است.

سپس، با اندازه‌گیری شیب کانال و کاربرد روش مانینگ، مقدار دبی لبالبی تعیین شد. ضریب زبری مانینگ با توجه به اندازه ذرات بستر در بازه مورد مطالعه از کتب هیدرولوژی استخراج شد. مقادیر تنش برشی بستر و قدرت کل رود برای هر مقطع عرضی به ترتیب از رابطه‌های ۱ و ۲ محاسبه شد.

$$\tau = \gamma R S \quad 1$$

$$\Omega = \gamma Q_b S \quad 2$$

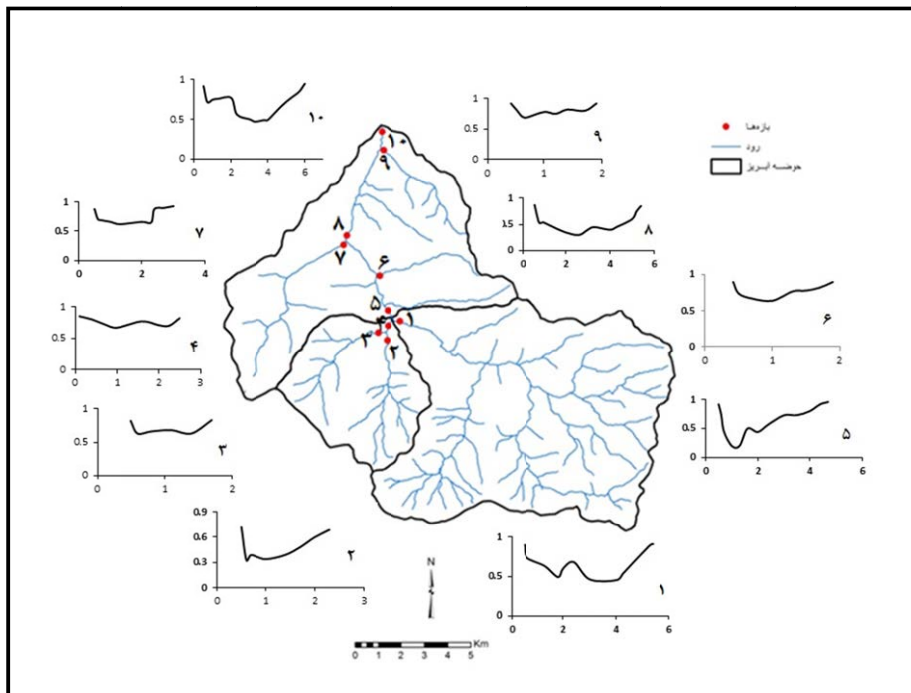
که  $\tau$  تنش برشی مرزی ( $N/m^2$ ),  $\gamma$  وزن مخصوص آب،  $R$  شعاع هیدرولیک به متر،  $S$  شیب بستر بر حسب متر بر متر،  $\Omega$  قدرت کل رود ( $W/m$ ), و  $Q_b$  دبی رود در تراز لبالبی است.

برای اندازه‌گیری قطر رسوبات سطحی از روش شمارش سنگ و لمن استفاده شد. در هر بازه حدائق صد نمونه سنگ اندازه‌گیری شد و با ترسیم نمودار فراوانی تجمعی آن‌ها صدک ۱۶، ۵۰، و ۸۴ قطر ذرات تعیین شد. روابط رگرسیونی میان پارامترهای فوق در نرمافزار SPSS محاسبه و تحلیل و بررسی شد.

برای تعیین دوره بازگشت دبی لبالبی از داده‌های حداکثر دبی سالانه ایستگاه هیدرومتری گرمابدشت، که در محل خروجی حوضه قرار دارد، استفاده شد. برای اجرای این کار، روش سری حداکثر سالانه<sup>۱</sup> (AMS) در نرمافزار Hydrognomon با توزیع‌های مختلف بررسی شد.

### یافته‌های پژوهش

ده بازه در منطقه مورد مطالعه بررسی شد. شکل ۳ موقعیت این بازه‌ها و مقاطع عرضی کانال رود را نشان می‌دهد. همچنین، جدول ۱ خلاصه داده‌های اندازه‌گیری شده و محاسبه شده بازه‌های مختلف - شامل داده‌های ژئومتری کانال، تخمین دبی، قدرت رود، و اندازه قطر رسوبات بستر - را نشان می‌دهد. مساحت بالادست بازه‌ها از ۵/۷ تا ۱۹۱ کیلومتر مربع متغیر بود و سایر پارامترهای کانال رود، مانند عرض و عمق لبالبی و مقدار دبی لبالبی، به تبع مساحت تغییر کرد. در ادامه مباحث، ارتباط این متغیرها بررسی می‌شود.



شکل ۳. موقعیت بازه‌های مورد مطالعه و مقاطع عرضی رود

جدول ۱. خلاصه اندازه‌گیری‌ها و محاسبات بازه‌های مورد مطالعه

D <sub>84</sub>	D <sub>50</sub>	D <sub>16</sub>	قدرت رود	تنش برشی	دبي لبالی	شیب کanal	عمق	عرض لبالی	مساحت بالادست	بازه
۱۵۶	۷۹	۳۰	۲۶۳	۲۶۷/۸	۲/۰۳	۰/۰۷	۰/۴۸	۵/۳	۹۵/۵	۱
۱۳۲	۴۲	۱۵	۴۶/۲	۵۸/۴	۰/۱۴	۰/۰۷	۰/۲۶	۲/۰۸	۱۵/۹	۲
۸۲	۲۶	۹	۳۶/۱۴	۵۸/۹۵	۰/۱۴	۰/۰۵	۰/۲۴	۱/۹	۱۲/۵	۳
۵۱	۲۱	۱۰	۱۶۷/۴	۱۴۹/۱	۰/۶۴	۰/۰۸	۰/۵۴	۳	۲۸/۸	۴
۸۲	۳۰	۱۱	۵۹۰/۱	۲۹۴/۳	۳/۱	۰/۱	۰/۶۱	۵/۱۶	۱۲۴/۳	۵
۶۱	۳۰	۱۱	۲۱۹/۸	۱۴۷/۱	۰/۳۷	۰/۱	۰/۲۸	۱/۶۶	۵/۷	۶
۲۰	۹	۱	۲۸۳/۷	۱۶۴/۸	۱/۱۳	۰/۰۷	۰/۳	۲/۷۳	۲۲/۸	۷
۱۹۰	۹۰	۲۹	۲۳۵/۵	۱۸۱/۵	۳/۰۴	۰/۰۵	۰/۷۴	۶/۳۳	۱۶۶/۸	۸
-	-	-	۱۰۴	۹۶/۱۴	۰/۲۸۸	۰/۰۷	۰/۲	۱/۹	۸/۹	۹
۱۴۰	۷۲	۲۰	۲۹۲/۸	۱۸۶/۴	۳/۸۸	۰/۰۵	۰/۶۹	۶/۵	۱۹۱/۳	۱۰

مساحت بالادست به کیلومتر مربع، عرض و عمق لبالی به متر، شیب کanal بر حسب متر بر متر، دبی لبالی به متر مکعب در ثانیه، تنش

برشی بستر بر حسب نیوتن بر متر مربع، قدرت رود به وات بر متر، اندازه ذرات در صدک‌های ۱۶، ۵۰، و ۸۴ بر حسب میلی‌متر

### ژئومتری کanal

در حوضه گرمابدشت، پارامترهای مورفولوژیکی کanal لبالی- شامل عرض و عمق کanal لبالی- نسبت مستقیمی را با مساحت حوضه زهکشی نشان می‌دهند (شکل ۴). رابطه عرض و عمق با مساحت حوضه به صورت رگرسیون توانی بیان شده است (رابطه‌های ۳ و ۴). طبق این رابطه، افزایش عرض کanal با مساحت حوضه سریع‌تر از افزایش عمق کanal با مساحت حوضه است ( $0.34 > 0.42$ ).

$$W = 0.73 A^{0.42}$$

$$R^2 = 0.98$$

رابطه ۳

$$Y = 0.116 A^{0.34}$$

$$R^2 = 0.83$$

رابطه ۴

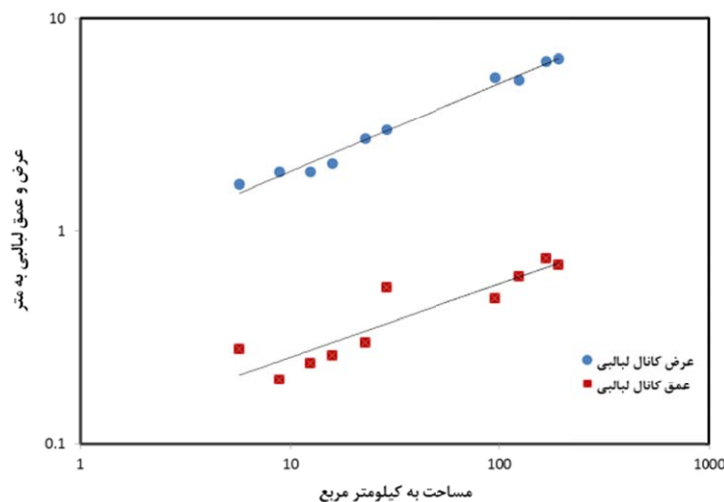
که  $W$  عرض کanal لبالی به متر،  $Y$  عمق کanal لبالی به متر،  $C_A$  مساحت مقطع عرضی به متر مربع، و  $A$  مساحت حوضه آبریز به کیلومتر مربع است.

مساحت مقاطع عرض کanal در تراز لبالی هم رابطه مستقیمی با مساحت حوضه دارد (شکل ۵) و به صورت رگرسیون خطی (رابطه ۵) پیش‌بینی شدنی است.

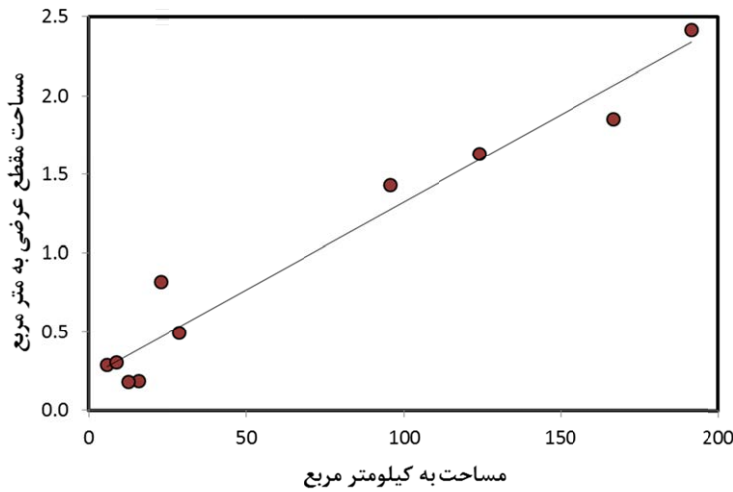
$$C_A = 0.011 A + 0.212$$

$$R^2 = 0.95$$

رابطه ۵



شکل ۴. نمودار لگاریتمی مساحت حوضه در مقابل عرض و عمق لبالی حوضه گرمابدشت



شکل ۵. نمودار مساحت حوضه آبریز در مقابل مساحت مقطع عرضی کanal لبالی حوضه گرداندشت

### دبی لبالی، تنش برشی، و قدرت رود

دبی محاسبه شده برای مقطوع عرضی لبالی در بازه‌های مختلف رابطه مستقیمی با مساحت حوضه زهکشی دارد (شکل ۶) و به صورت رگرسیون خطی پیش‌بینی شدنی است (رابطه ۶).

$$Q_b = 0.195A + 0.166 \quad R^2 = 0.95 \quad \text{رابطه ۶}$$

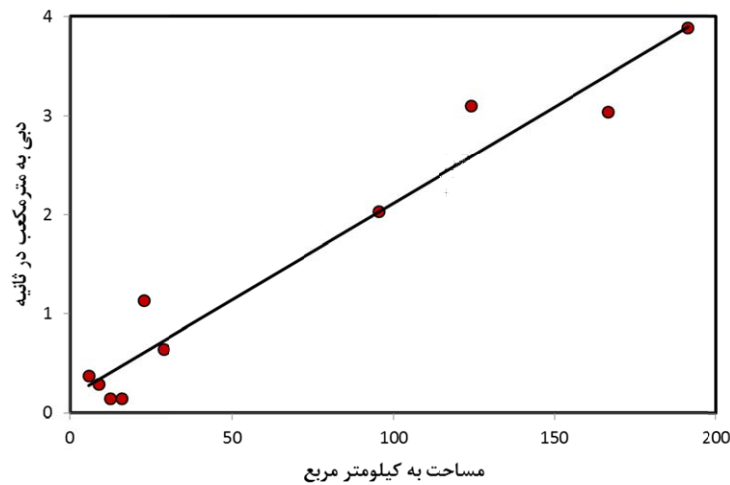
که مقدار  $Q_b$  مقدار دبی لبالی به متر مکعب در ثانیه است. مقادیر تنش برشی دبی لبالی و قدرت کل رود به ترتیب از رابطه‌های ۱ و ۲ محاسبه شد. این مقادیر رابطه مستقیمی با مساحت حوضه دارد (شکل ۷) و به صورت رگرسیون توانی در سطح اطمینان ۰.۹۵ معنی دار است (رابطه‌های ۷ و ۸).

$$\tau = 48.4 A^{0.7} \quad R^2 = 0.45 \quad \text{sig: } 0.03 \quad \text{رابطه ۷}$$

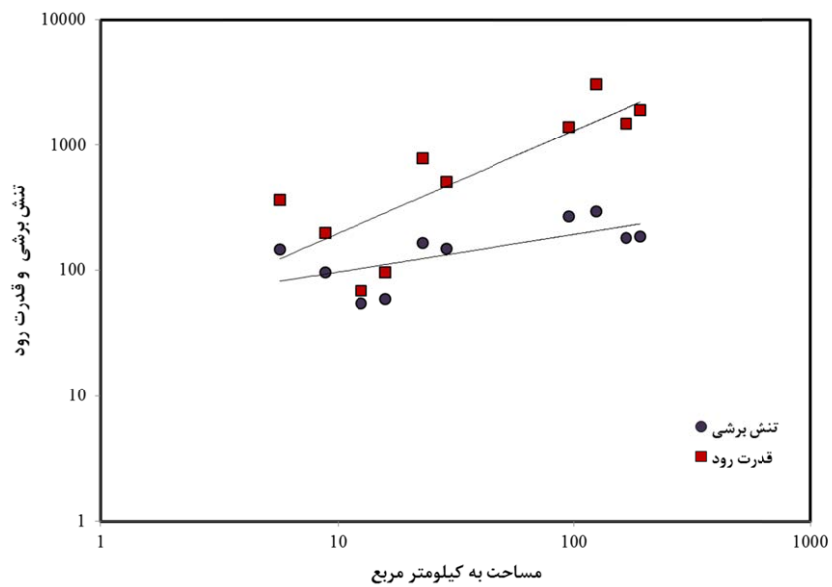
$$\Omega = 29.68 A^{0.82} \quad R^2 = 0.67 \quad \text{sig: } 0.004 \quad \text{رابطه ۸}$$

طبق این رابطه‌ها، با افزایش مساحت حوضه مقادیر تنش برشی و قدرت کل رود به صورت توانی افزایش می‌یابد. افزایش رو به پایین دست (افزایش مساحت) قدرت کل رود با افزایش دبی لبالی منطبق است. همان طور که عرض کanal لبالی با مساحت زهکشی افزایش می‌یابد (رابطه ۳)، روند افزایشی مشابهی هم با قدرت کل رود دارد (رابطه ۹).

$$W = 0.33 \Omega^{0.36} \quad R^2 = 0.74 \quad \text{sig: } 0.0 \quad \text{رابطه ۹}$$



شکل ۶. نمودار رگرسیونی مساحت حوضه آبریز در مقابل دبی لبالی حوضه گرمابدشت



شکل ۷. نمودار لگاریتمی مساحت حوضه در مقابل تنش برشی بستر (نیوتن بر متر مربع) و قدرت کل رود (وات بر متر)

## رسوبات

جدول ۲ قطر رسوبات اندازه‌گیری شده در صدک‌های  $D_{16}$ ,  $D_{50}$  و  $D_{84}$  را نشان می‌دهد. معادلات تجربی روابطی را بین مساحت حوضه و قطر ذرات رسوبی (به متر) نشان می‌دهند که به صورت تابع زیر (رابطه ۱۰) است:

$$D_i = c A^d$$

رابطه ۱۰

که رابطه‌های  $D_i$  قطر ذرات رسوبی در صدک‌های مختلف ۱۶، ۵۰، و ۸۴ است. اگرچه متغیرهای یادشده به‌ظاهر با مساحت حوضه آبریز و عرض کanal رابطه مثبتی دارند، در سطح اطمینان ۰/۰۵ رابطه معناداری را نشان نمی‌دهند (جدول ۲). به‌نظر می‌رسد علت این مسئله بزرگی حوضه مورد مطالعه و گستردگی متغیرهای مؤثر، مانند لیتو‌لوژی، پوشش گیاهی، و تفاوت در عناصر اقلیمی، باشد.

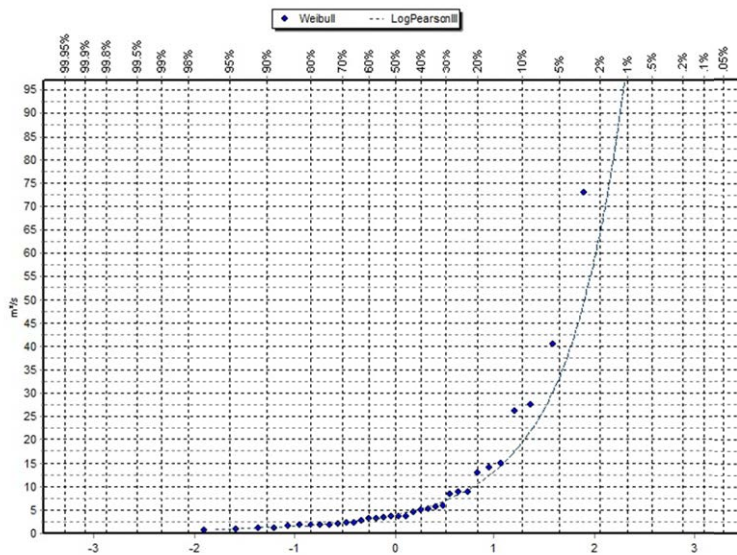
جدول ۲. روابط رگرسیونی اندازه ذرات با مساحت حوضه و عرض کanal لبالی

متغیر مستقل	متغیر وابسته	رابطه رگرسیونی	R <sup>2</sup>	Sig
A	D <sub>16</sub>	$0.006A^{0.74}$	0.43	0.069
A	D <sub>50</sub>	$0.015A^{0.28}$	0.45	0.076
A	D <sub>84</sub>	$0.045A^{0.22}$	0.38	0.1
D <sub>16</sub>	W	$0.007D_{16}^{0.59}$	0.49	0.054
D <sub>50</sub>	W	$0.018D_5^{0.59}$	0.49	0.054
D <sub>84</sub>	W	$0.054D_{84}^{-0.5}$	0.36	0.11

مساحت حوضه به کیلومتر مربع، W عرض کanal لبالی، D قطر ذرات رسوبی، اندازه قطر ذرات رسوبی به متر است.

### فراوانی وقوع دبی لبالی

برای ارزیابی فراوانی وقوع دبی لبالی از توزیع‌های آماری گوناگونی استفاده شد؛ از میان توزیع‌های گوناگون آماری، روش لوگ پیرسون تیپ ۳ با اطمینان ۹۹ درصد بیشترین برآمدش را با داده‌های مشاهده‌ای دبی حداقل سالانه داشت (شکل ۸). بر اساس این توزیع، دوره بازگشت دبی لبالی در خروجی حوضه دو سال بوده است. این بدین معنی است که دبی شکل دهنده کanal به طور میانگین هر دو سال یک بار تکرار می‌شود و بیشترین تأثیر را در کanal رود می‌گذارد. بررسی دبی‌های روزانه در طی سال‌های آماری و تفکیک دبی‌های بیش از مقدار لبالی نشان می‌دهد که بیشترین وقوع این سیلاب‌ها در فصول بهار، تابستان، و پاییز به ترتیب ۸۵، ۱۳، و ۲ درصد بوده است. در فصل بهار هم ماههای فروردین و اردیبهشت بیشترین وقوع سیلاب لبالی را داشته‌اند؛ با توجه به ارتفاع بالای حوضه (میانگین ۱۸۶۷ متر)، می‌توان آن را به رژیم برفی-بارانی حوضه نسبت داد. اگرچه بیشترین مقادیر دبی میانگین سالانه هم در همین ماهها مشاهده شده و مقادیر آن‌ها تقریباً سه برابر میانگین ماههای سرد سال (پاییز و زمستان) است.



شکل ۸. برآورد مقادیر حداقل دبی سالانه با توزیع لوگ پیرسون تیپ ۳ در ایستگاه گرمابدشت

## بحث و نتیجه‌گیری

نتایج تحلیل رگرسیون نشان می‌دهد مساحت حوضه به طور معناداری با پارامترهای ژئومتری کanal، مانند عرض، عمق، و مساحت مقطع عرضی، مرتبط است. نتایج تحلیل تغییرات عرض کanal با افزایش مساحت حوضه در رودخانه گرمابدشت با مطالعات سایر محققان نیز انطباق دارد. توان معادله تغییرات عرض کanal لبالی با مساحت در منطقه مورد مطالعه ۰/۴۳ به دست آمد. مقدار این توان در مطالعات هارمن و همکاران (۱۹۹۹) برای رودخانه‌های کارولینای شمالی بین ۰/۰۳۶ تا ۰/۰۴۳ محاسبه شد. مونتگمری و گرن (۲۰۰۱) مقدار توان را بین ۰/۰۳۶ تا ۰/۰۴۳ برای رودخانه‌های آبرفتی و سنگ استری معرفی کردند.

مطالعات وايت (۲۰۰۱) و سیتو (۲۰۰۳) نشان می‌دهد دبی لبالی رابطه بسیار خوبی با مساحت زهکشی دارد. در بیشتر تحقیقات دبی لبالی با مساحت حوضه به صورت یک رابطه توانی پیش‌بینی شدنی است. این رابطه در حوضه گرمابدشت با استفاده از رگرسیون توانی دارای  $R^2 = 0.79$  و با رگرسیون خطی دارای  $R^2 = 0.95$  محاسبه شد؛ بر این اساس، رابطه دوم با دقت بیشتری و با توجه به مساحت حوضه قابلیت پیش‌بینی دبی لبالی را خواهد داشت. در حوضه مورد مطالعه قدرت رود با مساحت افزایش می‌یابد و مقدار دبی در آن تأثیرگذار است. وینالو و داگوستینو (۲۰۰۷) توان ۰/۰۳ را برای رابطه عرض کanal و قدرت رود محاسبه کردند. در مطالعه حاضر توان ۰/۰۳۶ به دست آمد. محاسبات وینالو و داگوستینو (۲۰۰۷) رابطه معناداری را برای حوضه‌های کوچک‌تر از ده کیلومتر مربع نشان می‌دهد. در حوضه مورد مطالعه، به سبب تنوع متغیرهای مؤثر در تعزیه رسوب-مانند لیتولوژی و پوشش گیاهی- رابطه میان قطر ذرات و مساحت و عرض کanal به صورت معنادار نبود. در مجموع، همچنان که جانسن و پادمانابهان (۲۰۱۰) هم به آن اشاره کردند، معادلات رگرسیونی ژئومتری لبالی

برای پیش‌بینی جریان در رودهای فاقد ایستگاه هیدرومتری در مقایسه با سایر روش‌های سنتی ابزار مفیدتری فراهم می‌آورند؛ این موضوع برای منطقه مورد مطالعه نیز مصدق دارد.

نتایج پژوهش‌ها درباره دوره بازگشت دبی لبالی گوناگون است. اسویت و گراتز (۲۰۰۳) دوره بازگشت دبی لبالی را در مناطق ساحلی کارولینای شمالی کمتر از یک سال ارزیابی کردند. دوره بازگشت تعدادی از رودهای اروپا بین یک تا دو سال با متوسط ۱/۵ سال تخمین زده شد (اشنایدر و همکاران، ۲۰۱۱). مودریک و جئورکاکیس (۲۰۱۴) متوسط دوره بازگشت دبی لبالی را در کوهستان‌های کالیفرنیای جنوبی کمتر از یک سال و در کوهستان‌های پنین سولار بیش از یک سال محاسبه کردند. هیتمولر و همکاران (۲۰۱۵) میانگین دوره بازگشت دبی لبالی را در تگزاس بین ۱/۵ تا ۳ سال تخمین زدند. با وجود این، دوره بازگشت دبی لبالی در منطقه مورد مطالعه، که دو سال تخمین زده شد، در محدوده تحقیقات انجام‌شده قرار دارد.

آنالیز رگرسیون ارتباط میان ویژگی‌های مورفو‌لوجی کanal و مساحت زهکشی و دبی لبالی با مساحت زهکشی را در حوضه گرمابدشت تأیید می‌کند. از این رو، می‌توان از آن همچون ابزاری برای تخمین مورفو‌لوجی کanal و دبی لبالی در مناطق فاقد ایستگاه هیدرومتری استفاده کرد.

## منابع

- اسماعیلی، ر؛ حسین‌زاده، م.م. و متولی، ص. (۱۳۹۰). تکنیک‌های میدانی در ژئومورفو‌لوجی رودخانه‌ای، تهران: لاهوت.
- متولی، ص؛ حسین‌زاده، م.م. و اسماعیلی، ر. (۱۳۹۲). ارتباط دبی لبالی با واحدهای ژئومورفیک در رودخانه‌های کوهستانی، مطالعه موردي: رودخانه لاویج در دامنه شمالي البرز مرکزي، پژوهش‌های دانش زمين، ۱۴(۴): ۳۳ - ۱۷.
- Bhatt, V.K. and Tiwari, A.K. (2008). **Estimation of peak streamflows through channel geometry**, *Hydrol Sci J*, 53(2):401-408.
- Cinotto, P.J. (2003). **Development of regional curves of bankfull-channel geometry and discharge for streams in the non-urban, Piedmont Physiographic Province, Pennsylvania and Maryland: U.S. Geological Survey Water-Resources Investigations Report 03-4014**, 33 p.
- Emmett, W.W. and Wolman, M.G. (2001). **Effective discharge and gravel-bed rivers**, *Earth Surface Processes and Landforms*, 26: 1369-1380.
- Esmaili, R.; Hosseinzadeh, M.M. and Motavalli, S. (2011). *Field technique in fluvial geomorphology*, Lahut, Tehran (In Persian).
- Faustini, J.M.; Kaufmann, F.R. and Herlihy, A.T. (2009). **Downstream variation in bankfull width of wadeable streams across the conterminous United States**, *Geomorphology*, 108: 292-311.
- Heitmuller, F.T.; Hudson, P.F. and Asquith, W.H. (2015). **Lithologic and hydrologic controls of mixed alluvial-bedrock channels in flood-prone fluvial systems: Bankfull and macrochannels in the Llano River watershed, central Texas, USA**, *Geomorphology*, 232: 1-19.
- Harman, W.A.; Jennings, G.D.; Patterson, J.M.; Clinton, D.R.; Slate, L.O.; Jessup, A.G.; Everhart, J.R. and Smith, R.E. (1999). **Bankfull hydraulic geometry relationships for North Carolina streams**. In: Olsen, D.S., Potyondy, J.P. (Eds.), *Wildland Hydrology, AWRA Symposium Proceedings*, American Water Resources Association, Bozeman, MT, pp. 401-408.
- Johnson, M.H. (2003). **Development of a Regional Curve to Relate Discharge and Drainage Area to Hydraulic Geometry for the Red River of the North Basin**, University of North Dakota, Grand Forks, ND, Master's Thesis.

- Johnson, B.H. and Padmanabhan, G. (2010). **Regression estimates of design flows for ungaged sites using bankfull geometry and flashiness**, *Catena*, 81: 117-125.
- Modrick, T.M. and Georgakakos, K.P. (2014). **Regional bankfull geometry relationships for southern California mountain streams and hydrologic applications**, *Geomorphology*, 221: 242-260.
- Montgomery, D.R. and Gran, K.B. (2001). **Downstream variations in the width of bedrock channels**, *Water Resources Research*, 37(6): 1841-1846.
- Mulvihill, C.I. and Baldigo, B.P. (2012). **Optimizing bankfull discharge and hydraulic geometry relations for streams in New York State**, *Journal of the American water resources association*, 48(3).
- Mulvihill, C.I.; Baldigo, B.P.; Miller, S.J.; DeKoskie, D. and DuBois, J. (2010). **Bankfull discharge and channel characteristics of streams in New York State**, *Scientific Investigations Report 2009-5144*, U.S. Geological Survey, Reston, Virginia, pp 51.
- Motevali, S.; Hosseinzadeh, M.M. and Esmaili, R. (2013). **Relation of bankfull width with morphological units in mountain stream: Case study**, *Lavij River in north slope of Central Alborz*, 14: 17-33 (In Persian).
- Petit, F. and Pauquet, A. (1997). **Bankfull discharge recurrence interval in gravel-bed rivers, earth surfaces processes and landforms**, 22: 685-693.
- Pietsch, T.J. and Nanson, G.C. (2011). **Bankfull hydraulic geometry; the role of in-channel vegetation and downstream declining discharges in the anabranching and distributary channels of the Gwydir distributive fluvial system, southeastern Australia**, *Geomorphology*, 129: 152-165.
- Schneider, C.; Flörke, M.; Eisner, S. and Voss, F. (2011). **Large scale modelling of bankfull flow: An example for Europe**, *Journal of Hydrology*, 408: 235-245.
- Shibata, K. and Ito, M. (2014). **Relationships of bankfull channel width and discharge parameters for modern fluvial systems in the Japanese Islands**, *Geomorphology*, 214: 97-113.
- Sweet, W.V. and Geratz, G.W. (2003). **Bankfull hydraulic geometry relationships and recurrence intervals for north Carolina's coastal plain**, *Journal of the American Water Resources Association*, 39(4): 861-871.
- Tayfur, G. and Singh, V.P. (2011). **Predicting Mean and Bankfull Discharge from Channel Cross-Sectional Area by Expert and Regression Methods**, *Water Resour Manage*, 25: 1253-1267.
- Vianello, A. and D'Agostino, V. (2007). **Bankfull width and morphological units in an alpine stream of the dolomites (Northern Italy)**, *Geomorphology*, 83: 266-281.
- White, K.E. (2001). **Regional curve development and selection of a reference reach in the non-urban lowland sections of the Piedmont Physiographic Province, Pennsylvania and Maryland: U.S. Geological Survey Water-Resources Investigations Report 01-4146**, 20 p.
- Williams, G.P. (1978). **Bankfull discharge of rivers**, *Water Resour. Res.*, 14(6): 1141-1153.
- Wu, B.; Wang, G.; Xia, J.; Fu, X. and Zhang, Y. (2008). **Response of bankfull discharge to discharge and sediment load in the Lower Yellow River**, *Geomorphology*, 100: 366-376.
- Xia, J.; Wu, B.; Wang, G. and Wang, Y. (2010). **Estimation of bankfull discharge in the Lower Yellow River using different approaches**, *Geomorphology*, 117: 66-77.